

Introduction
A gamma-ray spectrometric and aeromagnetic geophysical survey of the Mertsching Lake West area, Nunavut, was completed by Temagami Ltd. The survey was flown from July 31st to September 7th, 2009 using a Piper PA-31 Navajo (C-GXKS). The nominal traverse and control line spacing were, respectively, 400 m and 2400 m, and the aircraft flew at a nominal terrain clearance of 125 m at an average airspeed of 275 km/h. Traverses were oriented N27°W with orthogonal control lines. The flight path was recovered following post-flight differential corrections to raw data recorded by a Global Positioning System. The survey was flown on a pre-determined flight surface to minimize differences in magnetic values at the intersections of control and traverse lines.

Un levé géophysique aéroporté de spectrométrie gamma et magnétique a été réalisé dans la partie ouest de la région du lac Mertsching au Nunavut par la société Temagami. Le levé a été effectué du 31 juillet au 7 septembre 2009, à bord d'un avion Piper C-GXKS. L'espacement nominal des lignes de vol était de 400 m et celui des lignes de contrôle de 2 400 m. L'altitude nominale de vol était de 125 m au-dessus du sol et la vitesse moyenne enregistrée était de 275 km/h. Les lignes de vol étaient orientées à N27°W et les lignes de contrôle leur étaient perpendiculaires. La trajectoire de vol a été restituée par l'appariement des données de corrections différentielles aux données brutes enregistrées avec un récepteur GPS. Le levé a été effectué sur une surface de vol pré-déterminée afin de réduire le plus possible les différences de valeurs du champ magnétique aux intersections des lignes de contrôle et des lignes de vol.

Gamma-ray Spectrometric Data / Données de spectrométrie gamma
The airborne gamma-ray measurements were made with a Radiation Solutions RS-500 gamma-ray spectrometer using fourteen 102x102x406 mm NaI (TI) crystals. The mean detector array consisted of twelve crystals (total volume 50.4 litres). Two crystals (total volume 4.4 litres), viewed by the main array, were used to detect variations in background radiation caused by atmospheric radon. The system assembles 1024 channel spectra from individual NaI (TI) detectors with no loss of Poisson statistics. Spectrum stabilization is accomplished by matching the recorded spectra with several natural gamma-ray peaks.

Potassium is measured directly from the 1460 keV gamma-ray photons emitted by ⁴⁰K, whereas uranium and thorium are measured indirectly from gamma-ray photons emitted by daughter products (²¹⁴Pb for uranium and ²¹⁴Pb for thorium). Although these daughters are far down their respective decay chains, they are easily detected in background radiation caused by atmospheric radon. True gamma-ray spectrometric measurements of uranium and thorium are referred to an equivalent uranium and equivalent thorium, i.e. eU and eTh. The energy windows used to measure potassium, uranium and thorium are, respectively, 1370-1570 keV, 1860-1880 keV, and 180-210 keV.

Corrected data were interpolated to a 100m grid interval. The results of an airborne gamma-ray spectrometer survey represent the average surface concentrations of the 3 natural radioisotopes, and are influenced by nature of overburden, presence of outcrops, vegetation cover, soil moisture and surface wetness. As a result the measured concentrations are usually lower than the actual subsurface concentrations.

Les mesures du rayonnement gamma ont été effectuées à l'aide d'un spectromètre gamma Radiation Solutions RS-500 utilisant quatorze cristaux de NaI de 102x102x406 mm. Le principal réseau de capteurs se compose de douze cristaux (volume total de 50,4 litres). Deux cristaux (volume total de 4,4 litres), protégés par le réseau principal, ont été utilisés pour détecter les variations du rayonnement naturel dues au radon atmosphérique. Ce système compile à partir des réponses individuelles des cristaux de NaI(Tl) un spectre de 1024 canaux en respectant une distribution de Poisson. La calibration des spectres est réalisée en ajustant les spectres enregistrés selon plusieurs pics gamma naturels.

Le potassium est mesuré directement d'après les photons gamma de 1 460 keV émis par le ⁴⁰K, tandis que l'uranium et le thorium sont mesurés indirectement selon les photons gamma émis par des produits de fission (²¹⁴Pb pour l'uranium et ²¹⁴Pb pour le thorium). Bien que ces radionucléides de fission se trouvent loin dans leur chaîne respective de désintégration, on presume qu'ils sont en équilibre avec leur radionucléide père, ainsi, les mesures spectrométriques du rayonnement gamma de l'uranium et du thorium sont désignées comme des équivalents d'uranium et des équivalents de thorium, soit eU et eTh. Les plages d'énergie utilisées pour mesurer le potassium, l'uranium et le thorium sont respectivement : de 1 370 à 1 570 keV, de 1 860 à 1 880 keV et de 180 à 210 keV.

Les spectres du rayonnement gamma ont été enregistrés à intervalle d'une seconde. Le traitement des données a suivi les procédures standards décrites dans IAEA, 1991 et IAEA, 2003. Pendant le traitement, les spectres ont été soumis à un débiaisage énergétique et les coups ont été cumulés dans les plages décrites ci-dessus. Les coups obtenus à l'aide des capteurs de radon ont été enregistrés dans la plage de 1 860 à 1 880 keV et le rayonnement de radon atmosphérique a été soustrait à 3 000 keV à l'aide d'un débiaisage cosmique. Les coups enregistrés dans les plages ont été corrigés pour tenir compte du temps mort, du rayonnement de fond dû au rayonnement cosmique, de la radioactivité de l'aérien et des produits de désintégration du radon atmosphérique. Les données pour les plages ont été corrigées pour tenir compte de la diffusion spatiale dans le sol, l'air et les capteurs. Les corrections pour les écarts à la hauteur de vol prévues et les variations de température et de pression ont été effectuées avant la conversion en concentrations équivalentes de l'uranium et du thorium, en utilisant des facteurs déterminés lors de vols effectués au-dessus de la bande d'échantillonnage de Brocknbridge. Les facteurs déterminés pour le potassium, l'uranium et le thorium étaient respectivement de 91,75 cps/ppm, 13,53 cps/ppm, et 5,30 cps/ppm.

Les données corrigées ont été interpolées suivant une grille à maille de 100 m. Les résultats d'un levé aéroporté de spectrométrie gamma représentent les concentrations moyennes des 3 radionucléides naturels à la surface. Ces mesures sont influencées par la nature du sous-sol, la présence d'affleurements, la couverture végétale et l'humidité de surface. Par conséquent, les concentrations mesurées sont habituellement plus faibles que les concentrations réelles dans le sous-sol.

Magnetic Data / Données sur le champ magnétique
The magnetic field was sampled 10 times per second using a split-beam cesium vapour magnetometer (sensitivity = 0.005 nT) rigidly mounted to the aircraft. Differences in magnetic values at the intersections of control and traverse lines were analyzed to obtain a mutually leveled set of flight-line magnetic data. The leveled values were then interpolated to a 100 m grid. The International Geomagnetic Reference Field (IGRF) defined at the average GPS altitude of 303 m for the year 2009.5 was then removed. Removal of the IGRF, representing the magnetic field of the Earth's core, produces a residual component related essentially to magnetization within the Earth's crust.

The first vertical derivative of the magnetic field is the rate of change of the magnetic field in the vertical direction. Computation of the first vertical derivative removes long wavelength features of the magnetic field and significantly improves the resolution of closely spaced and superposed anomalies. A property of first vertical derivative maps is the coincidence of the zero-value contour with vertical contacts of magnetic units at high magnetic latitudes (Hoot, 1965).

Le champ magnétique a été échantillonné 10 fois par seconde à l'aide d'un magnétomètre à vapeur de césium à faisceau partagé (sensibilité = 0,005 nT) rigide fixé à l'aéronef. Les différences de valeur du champ magnétique aux intersections des lignes de contrôle et des lignes de vol ont été analysées par ordinateur afin d'obtenir un ensemble de données sur le champ magnétique mutuellement nivelées sur les lignes de vol. Ces valeurs nivelées ont ensuite été interpolées suivant une grille à maille de 100 m. Le champ géomagnétique international de référence (International Geomagnetic Reference Field - IGRF) défini à l'altitude moyenne fournie par les données GPS de 303 m pour l'année 2009,5 a été soustrait au soustrait de l'IGRF, qui représente le champ magnétique du noyau terrestre, résulte en une composante résiduelle essentiellement liée à la magnétisation de l'écorce terrestre.

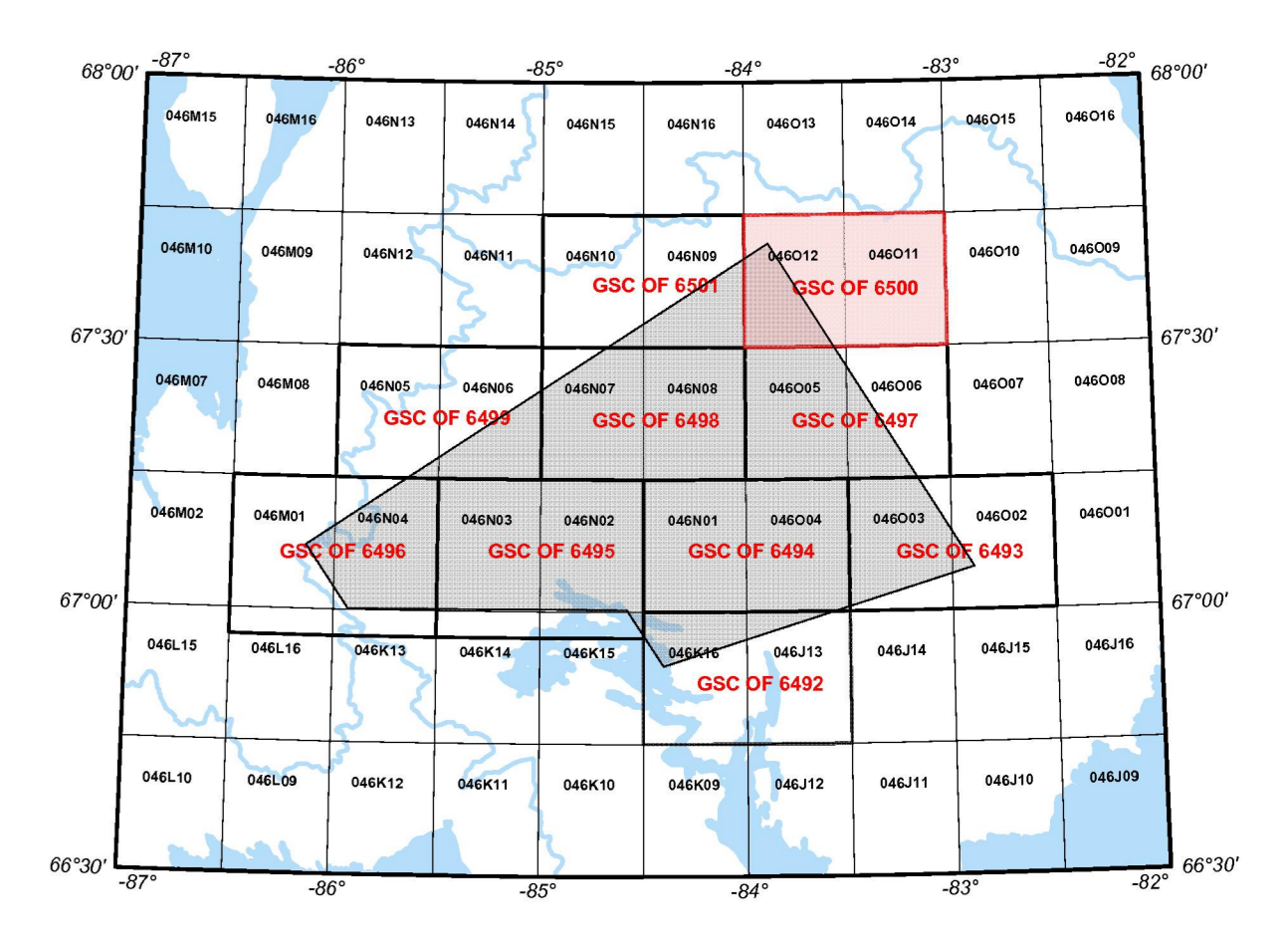
La dérivée première verticale du champ magnétique représente le taux de variation du champ magnétique suivant la verticale. Le calcul de la dérivée première verticale supprime les caractéristiques de grande longueur d'onde du champ magnétique et améliore considérablement la résolution des anomalies rapprochées les unes des autres ou superposées. L'une des propriétés des cartes de la dérivée première verticale est la coïncidence de l'alignement de valeur zéro et des contacts verticaux d'unités magnétiques aux hautes latitudes magnétiques (Hoot, 1965).

References / Références
Hoot, P. J. 1965. Gradient measurements in aeromagnetic surveying. Geophysics, 30, 891-902.
International Atomic Energy Agency, 1991. Airborne gamma-ray spectrometric surveying. Technical Reports Series 303, IAEA, Vienna.
International Atomic Energy Agency, 2003. Guide lines for radionuclide mapping using gamma ray spectrometry data. Technical Reports Series 363, IAEA.

Planimetric symbols / Symboles planimétriques
Project limit: ————
Drainage: ————
Foglines, tidal: ————
Topographic contour: ————
Limito do projeto: ————
Drenagem: ————
Linhaes de nebulosa: ————
Cotura de nível: ————

MAP SHEET SUMMARY / SOMMAIRE DES FEUILLETS

SHEET/FEUILLET	MAP/CARTE
1	Natural Air Absorbed Dose Rate Taux d'absorption naturel des rayons gamma dans l'air
2	Potassium
3	Uranium
4	Thorium
5	Uranium / Thorium
6	Uranium / Potassium
7	Thorium / Potassium
8	Ternary Radionuclide Map Diagramme ternaire des radionucléides
9	Residual Total Magnetic Field Composante résiduelle du champ magnétique total
10	First Vertical Derivative of the Magnetic Field Dérivée première verticale du champ magnétique



NATIONAL TOPOGRAPHIC SYSTEM REFERENCE AND GEOPHYSICAL MAP INDEX SYSTEME DE RÉFÉRENCE CARTOGRAPHIQUE ET INDEX DES CARTES GÉOPHYSIQUES

Digital versions of this map, corresponding digital profile and gridded data, and similar data for adjacent aeromagnetic and gamma-ray spectrometric surveys can be downloaded, at no charge, from Natural Resources Canada's Open Access Data Repository at <http://data.mcg.gc.ca/>. This same products are also available, for a fee, from the Geophysical Data Centre, Geological Survey of Canada, 615 Booth Street, Ottawa, Ontario, K1A 0E8. Telephone: (613) 993-5326, email: geodata@nrcan.gc.ca

On peut télécharger gratuitement, depuis l'Entrepôt de données géospatiales de Ressources naturelles Canada à l'adresse Web <http://data.mcg.gc.ca/>, des versions numériques de cette carte, des données numériques correspondantes en format profilé et en format maillé, ainsi que des données similaires issues des levés aéroportés adjacents. On peut se procurer les mêmes produits, moyennant des frais, au s'adressant au Centre des données géophysiques de la Commission géologique du Canada, 615, rue Booth (Ottawa) K1A 0E8. Téléphone : (613) 993-5326, courriel : geodata@nrcan.gc.ca

**AIRBORNE GEOPHYSICAL SURVEY OF THE MIERTSCHING LAKE WEST AREA, NUNAVUT
LEVÉ GÉOPHYSIQUE AÉROPORTÉ DE LA PARTIE OUEST DE LA RÉGION DU LAC MIERTSCHING, NUNAVUT**
NTS 46-O/12 and 46-O/11 / SNRC 46-O/12 et 46-O/11

THORIUM / POTASSIUM

Authors: Fortin, R., Coyle, M., Hafford, S.W., Carson, J.M., and Faulkner, E.L.
Auteurs : Fortin R., Coyle M., Hafford S.W., Carson J.M., et Faulkner E.L.

Data acquisition, completion and map production by Temagami Ltd., Markham, Ontario.
Contract and project management by the Geological Survey of Canada, Ottawa, Ontario.

Scale 1 : 50 000 - Échelle 1 / 50 000

Universal Transverse Mercator Projection / Projection transverse universelle de Mercator
North American Datum 1983 / Système de référence géodésique nord-américain, 1983
© Her Majesty the Queen in Right of Canada 2011 / © Sa Majesté la Reine en chef du Canada 2011

Digital Topographic Data provided by Geomatics Canada, Natural Resources Canada / Données topographiques numériques de Géomatique Canada, Ressources naturelles Canada



OPEN FILE / DOSSIER PUBLIC 6500
GEOLOGICAL SURVEY OF CANADA / COMMISSION GÉOLOGIQUE DU CANADA
2011
SHEET / FEUILLET 1 OF 10 / FEUILLET 1 DE 10

Open file products that were prepared through the formal GSC publication process. Les documents publiés sont des produits qui ont été préparés par le processus formel de publication de la GSC.

Notation bibliographique conventionnelle
Fortin, R., Coyle, M., Hafford, S.W., Carson, J.M., et Faulkner, E.L., 2011. Série des cartes géophysiques. Levé géophysique aéroporté de la partie ouest de la région du lac Mertsching, Nunavut. SNRC 46-O/12 et 46-O/11. Commission géologique du Canada, Dossier public 6500, échelle 1:50 000.

Recommended Citation:
Fortin, R., Coyle, M., Hafford, S.W., Carson, J.M., and Faulkner, E.L., 2011. Geophysical series. Airborne Geophysical Survey of the Mertsching Lake West Area, Nunavut, NTS 46-O/12 and 46-O/11. Geological Survey of Canada, Open File 6500, scale 1:50 000.